



## به روزرسانی غیر خطی اتصال فلز-کامپوزیت پیچی تک لبه با استفاده از تقریب مرتبه بالای دامنه پاسخ

مجید پورقاسم<sup>۱</sup>، احمد ناجی قزوینی<sup>۲</sup>، حسین گل پرور<sup>۳\*</sup>

۱- کارشناسی ارشد، مهندسی هواپیما، دانشگاه امام حسین (ع)، تهران

۲- کارشناسی ارشد، مهندسی هواپیما، دانشگاه صنعتی مالک اشتر، تهران

۳- استادیار، مهندسی هواپیما، دانشگاه امام حسین (ع)، تهران

\* تهران، صندوق پستی 16158/193 h golparvar@ihu.ac.ir

### چکیده

استفاده از اتصالات هیبریدی (فلز-کامپوزیت) در صنایع هوایی به دلیل وزن کم و استحکام بالا روند رو به رشدی دارد. بررسی رفتار دینامیکی این اتصال، به علت محدودیت در افزایش پیش بار پیچ در سازه های کامپوزیتی به دلیل تخریب آن، از اهمیت ویژه ای برخوردار است. عوامل تأثیر گذار بر رفتار غیرخطی اتصال شامل کم بودن پیش بار پیچ و بالا بدن دامنه نیروی تحریک اعمالی به سازه می باشد. مدل لایه میانی به منظور توصیف بهتر رفتار اتصال در سازه های اخیر مورد استفاده قرار گرفته شده است. در این تحقیق با استفاده از تئوری لایه میانی دو بعدی، تأثیرات رفتار اتصال بر سازه کلی در دو بخش افزایش میرایی و کاهش سفتی که منجر به ایجاد پدیده غیرخطی می شود بررسی شده است. ویژگی سفتی اتصال را به وسیله سفتی نرمال و میرایی اتصال را با استفاده از میرایی سازه ای در راستای برشی، مدل سازی شده است. نمودارهای پاسخ فرکانسی غیرخطی در دو پیش بار و برای دو نیروی تحریک مختلف استخراج شده است و به وسیله تقریب چندجمله ای مرتبه بالا بر حسب دامنه پاسخ مدل اجزا محدود غیر خطی برای سفتی و میرایی اتصال پیشنهاد شده است. تأثیر افزایش دامنه نیروی تحریک و کاهش پیش بار پیچ بر افزایش غیر خطی با این مدل اجزا محدود استخراج شده است. نتایج نشان می دهد که مدل اجزا محدود غیرخطی ارائه شده، با نتایج بدست آمده از تست ارتعاشی غیر خطی با دقت بالای مطابقت دارد.

### اطلاعات مقاله

مقاله پژوهشی کامل

دریافت: ۱۵ تیر ۱۳۹۶

پذیرش: ۲۵ شهریور ۱۳۹۶

ارائه در سایت: ۱۱ آبان ۱۳۹۶

کلید واژگان:

غیر خطی

اتصال هیبریدی

مان لایه میانی

پاسخ فرکانسی غیرخطی

## Nonlinear model updating of composite-metal single lab bolted joint using high order response amplitude approximation

Majid Pour Ghasem<sup>1</sup>, Ahmad Naji Ghazvini<sup>2</sup>, Hosein Gholparvar<sup>1\*</sup>

1- Department of Engineering, IHU, Tehran, Iran.

2- Department of Aerospace Engineering, MUT, Tehran, Iran.

\* P.O.B. 16158/193 Tehran, Iran, h golparvar@ihu.ac.ir

### ARTICLE INFORMATION

Original Research Paper

Received 06 July 2017

Accepted 16 September 2017

Available Online 02 November 2017

Keywords:

Nonlinear

Hybrid Joint

Thin Layer Element

Nonlinear Frequency Response

### ABSTRACT

Hybrid joints (Metal-Composite) are being used more and more in aerospace industry due to their low weight and high strength. Dynamic study of this joint, owing to limitation of increase in screw's preload in composite substructure, has certain importance. Effective factors on nonlinear behavior of the joint are low preload of the screw and high excitation force amplitude on the structure. Layer Element Model has been used to better the description of joint's behavior in recent years. In this study effects of nonlinear behavior of joint on the structure has been investigated using 2D layer element theory in two divisions: increase of damping and decrease of stiffness which result in nonlinearity. Stiffness characteristics of the joint were modeled with normal stiffness and damping characteristics of the joint with structural damping in shear direction. Nonlinear frequency response function for two preload and two excitation forces was extracted and nonlinear finite element model for stiffness and damping of the joint is suggested by High-order polynomial approximation in terms of response amplitude. Effects of increase of excitation force amplitude and decrease of screw's preload on increase of nonlinearity was extracted by this finite element model. Results indicate that the presented nonlinear finite element model corresponds closely to nonlinear vibration tests.

قطعیت های زیادی رویرو می شوند به مانند سازه های هیبریدی (فلز-

کامپوزیت). از زمان شروع به کارگیری مواد کامپوزیت در سازه های هواپیمایی،

استفاده از آن ها به طور پیوسته ای در حال افزایش بوده است. علاوه بر

### ۱- مقدمه

گاهی مهندسان با سازه هایی رویرو می شوند که قبل اه همانند آن را ندیده و از این جهت در فرایند طراحی، مدل سازی و تحلیل آن با گلوگاه ها و عدم

<sup>1</sup> Hybrid

Please cite this article using:

M. Pour Ghasem, A. Naji Ghazvini, H. Gholparvar, Nonlinear model updating of composite-metal single lab bolted joint using high order response amplitude approximation, *Modares Mechanical Engineering*, Vol. 17, No. 11, pp. 39-46, 2018 (in Persian)

برای ارجاع به این مقاله از عبارت ذیل استفاده نمایید:

## 2- فرمولاسیون مدل سازی اتصال

تاکنون انواع مدل های اتصال، برای دو تیر فلزی همسان ارائه شده است. مطابق شکل 1 در این تحقیق یک اتصال متفاوت شامل یک تیر فلزی و یک تیر کامپوزیتی شبه ایزوتropیک با مدول های الاستیسته متفاوت در راستای خمشی بررسی شده است. تیر کامپوزیتی به دلیل رفتار شبه ایزوتropیک دارایی رفتار مشابه تیر فلزی در راستای خمش عرضی می باشد.

مهمترین نکته در مدل اتصال این است که، مدل ارائه شده بر دید فیزیکی حاکم بر اتصال انطباق داشته باشد. در تئوری لایه میانی که توسط دزایی ارائه شده است [9]، فرض بر آن است که سفتی در راستای نرمال و برشی به صورت مجزا<sup>6</sup> می باشند و تغییرات سفتی در راستای X مطابق شکل 2 قابل صرف نظر است و ضخامت لایه میانی در فاصله Tارخنثی دو تیر H مدل سازی شده است.

### 2-1- مدل سازی خطی اتصال

المان لایه میانی مورد استفاده برای مدل سازی اتصال به صورت المان غشاء مستطیلی با درجات آزادی چرخشی<sup>7</sup> فرض شده است [14]. به منظور محاسبه ماتریس سفتی المان، روابط سازگاری (تنش-کرنش) ماتریس [D] مطابق رابطه ۱ (2) تعیین شده است.

$$\{\sigma\} = [D]\{\varepsilon\} \quad (1)$$

$$\begin{cases} \sigma_x \\ \sigma_y \\ \tau_{xy} \end{cases} = \begin{bmatrix} 0 & 0 & 0 \\ 0 & E_c & 0 \\ 0 & 0 & G_c \end{bmatrix} \begin{cases} \varepsilon_x \\ \varepsilon_y \\ \gamma_{xy} \end{cases} \quad (2)$$

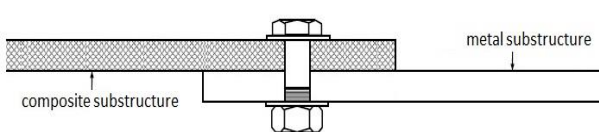
همان طور که در تئوری لایه میانی ذکر شده است، عناصر خارج از قطر اصلی به دلیل مجزا بودن سفتی در راستای نرمال و برشی برابر صفر می باشند. تنها کافی است ماتریس [D] در رابطه ۳ (قارداده شود که در آن L طول المان، H عرض و t ضخامت لایه میانی می باشند (شکل 2).

$$[K^e] = t \int_0^H \int_0^L [B]^T [D] [B] dx dy \quad (3)$$

ماتریس B به صورت  $[B] = [L][N]$  می باشد که در آن [N] ماتریس توابع شکل<sup>8</sup> و [L] ماتریس مشتقات در حالت دو بعدی می باشند [14]. تنها کافیست تا پارامترهای  $E_c$  و  $G_c$  با استفاده از نتایج تست شناسایی شوند تا رفتار خطی اتصال به درستی مدل سازی و به روزرسانی شود.

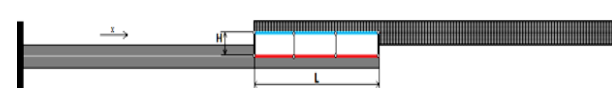
### 2-2- مدل سازی غیر خطی اتصال

همان طور که در تحقیقات قبل نشان داده شده است، شروع ناحیه غیرخطی



شکل 1 اتصال پیچی تک لبه فلز-کامپوزیت

شکل 1 اتصال پیچی تک لبه فلز-کامپوزیت



شکل 2 المان نازک لایه میانی دو بعدی

<sup>6</sup> Decouple

<sup>7</sup> Rectangular Membrane Element with Drilling Freedoms

<sup>8</sup> Shape Functions

کاربردهای اولیه آنها در قطعات غیرسازه ای یا قطعات ثانویه سازه، استفاده از این مواد در قطعات اصلی سازه ها در حال افزایش است. پیش بینی مدل المان محدود از رفتار یک سازه، همواره با رفتار واقعی سازه متفاوت است. وضعیت دینامیکی سازه های متخلک از قطعات کامپوزیتی و دارای اتصالات مکانیکی به دلیل عدم قطعیت های موجود در آنها، حدتر و پیچیده تر از سازه های فلزی است. تاکنون مدل های زیادی برای توصیف سطوح اتصال پیچی و مدل سازی رفتار دینامیکی آنها ارائه شده است.

مدل های فتر-دمپر [2,1]، المان جبرانی<sup>1</sup> [3]، المان ژنریک [4]، المان لایه میانی [5]، مدل ایوان [6] و اخیرا المان واسط [7] نمونه های از این تلاش ها می باشند. دو نوع از المان های لایه میانی، المان لایه میانی با ضخامت صفر و المان لایه میانی نازک می باشند. در المان لایه میانی با ضخامت صفر روابط سازگاری المان معمولاً شامل مقادیر ثابتی برای هر دو سفتی برشی (مماس بر صفحه سطح اتصال) و سفتی نرمال (عمود بر صفحه سطح اتصال) می باشد [8]. اما در المان لایه میانی نازک خواص سطح اتصال به وسیله باند نازکی اطراف سطح با ویژگی های متفاوت از مواد مجاور کنترل می شود [9]. در حالتی که نیرو تحریک پایین و خواص مواد همسان یا پیش بار پیچ به اندازه کافی بالا باشد تا از ورود به ناحیه غیرخطی جلوگیری شود رفتار سطح تماس خطی می باشد. المان لایه نازک اولین بار به منظور به روزرسانی<sup>2</sup> و برای استخراج ضرایب سفتی اتصال با استفاده از روابط سازگاری الاستیک خطی و نتایج تست مodal توسط آقای احمدیان و همکاران [10] مورد مطالعه قرار گرفته شده است. در این تحقیقات نشان داده شده است که برای توصیف رفتار اتصال در روابط سازگاری المان لایه میانی نازک تنها سفتی نرمال و برشی کافی می باشد.

زمانی که رفتار غیرخطی سازه با افزایش نیروی تحریک شروع می شود نیاز به مدل سازی دقیقی از اتصال است تا بتوان رفتار غیرخطی سطح تماس را دقیق توصیف کرد. در بررسی های تجربی قبلی نشان داده شده است که رفتار اتصال وابسته به دامنه پاسخ سازه می باشد [12,11]. از آنجایی که به دلیل وجود اتصال سفتی سازه کاهش و میرایی آن افزایش می باید با استفاده از مدل لایه میانی نازک و روابط سازگاری آن تقریب مرتبه دو بر حسب دامنه پاسخ برای توصیف رفتار غیرخطی اتصال ارائه شده است [13]. در مدل غیرخطی کاهش سفتی در راستایی سفتی نرمال و نیز افزایش میرایی به وسیله ای میرایی سازه ای در راستایی سفتی برشی مدل سازی شده است.

هدف اصلی این تحقیق ارائه مدل لایه میانی نازک غیرخطی مرتبه چهار بر حسب دامنه پاسخ برای مدل سازی رفتار اتصال فلز-کامپوزیت می باشد. در اینجا فرض بر این است که کل میرایی سازه شامل میرایی تیر کامپوزیتی و میرایی اتصال پیچی در مدل میرایی سطح تماس دیده شده است. در ابتدا مدل خطی اتصال و نیز پاسخ فرکانسی خطی آن استخراج شده است. مدل خطی بدست آمده توسط روش حساسیت مقادیر ویژه<sup>3</sup> به روزرسانی شده است. سپس با استفاده از مدل خطی اتصال به روزرسانی شده در قبل مدل غیرخطی اتصال با استفاده از چند جمله ای مرتبه چهار بر حسب دامنه پاسخ ارائه شده است. در نهایت با استفاده از نتایج بدست آمده از پاسخ فرکانسی غیرخطی، مدل اجزاء محدود غیرخطی اتصال به کمک روش حساسیت پاسخ فرکانسی<sup>4</sup> به روزرسانی و شناسایی<sup>5</sup> شده است.

<sup>1</sup> Offset Dimension

<sup>2</sup> Updating

<sup>3</sup> Eigen Value Sensitivity Analysis

<sup>4</sup> Frequency Response Sensitivity Analysis

<sup>5</sup> Identification

سازه‌ی یعنی تابع  $F_2$  به صورت مختلط با جمع سفتی در راستایی برشی برای مدل‌سازی آن استفاده شده است که علت آن طبق مشاهدات تجربی پدیده سفت‌شوندگی میرایی<sup>3</sup> می‌باشد [12-15].

### 3- نمونه مورد مطالعه

سازه هیبریدی فلز-کامپوزیت مورد مطالعه در این تحقیق شامل یک تیر آلومینیومی AL7075-T651 به ابعاد  $10 \times 42 \times 346$  و یک تیر کامپوزیتی کربن/اپوکسی به ابعاد  $442 \times 8.7 \times 42$  است که به وسیله یک عدد پیچ و مهره M10 به یکدیگر متصل شده‌اند. خواص تیر آلومینیومی برابر با مدول الاستیک 69.2 GPa و چگالی  $2850 \text{ kg/m}^3$  می‌باشد. در شکل 3 شماتیکی از این سازه هیبریدی در وضعیت یکسرگیردار نشان داده شده است.

تیر کامپوزیتی از الیاف کربن دوجهه با 36 لایه و چیدمان متقارن  $[s_4/4(0/90)_2/4(0/90)_4/4]_2$  ساخته و چگالی آن با چیدمان شباهیزوتropیک برابر  $1365 \text{ kg/m}^3$  محاسبه شده است. مدول الاستیک آن از تست مودال و به روزرسانی مدل با استفاده از ثغوری تیر اویلر-برنولی با توجه به رفتار شبه ایزوتropیک به دست آورده شده است. برای این منظور تیر مورد نظر در حالت دو سرآزاد مطابق شکل 4، تحت تست مودال قرار گرفته شده است. تحریک تیر به وسیله چکش مودال و پشت سنسور صورت می‌گیرد.

نمودار پاسخ فرکانسی در شکل 5 نشان داده شده است. نتایج حاصل از به روزرسانی مدل تیر کامپوزیتی به وسیله آنالیز حساسیت پاسخ فرکانسی و درصد خطای آن در جدول 1 آورده شده است. بر اساس داده‌های این جدول مدول الاستیستیه معادل برای تیر کامپوزیتی با چیدمان شبه ایزوتropیک معادل با  $38.566 \text{ GPa}$  به دست آورده شده است. در بخش 4 نیز به بررسی تست مودال خطی اتصال فلز کامپوزیت پرداخته شده است. شکل 6 نمودار پاسخ فرکانسی خطی اتصال برای پیش‌بار  $8 \text{ Nm}$  نشان داده است.

همان‌طور که در جدول 1 مشخص می‌باشد درصد خطای هر یک از فرکانس‌ها بعد از به روزرسانی زیر 4 درصد می‌باشد که نشان از صحت به روزرسانی می‌باشد.

### 4- تست مودال خطی و غیرخطی اتصال

وضعیت سازه هیبریدی در حین تست مودال با لرزانده<sup>1</sup> در شکل 7 نشان داده شده است. همان‌گونه که در شکل شماتیک 3 نیز دیده می‌شود، سازه هیبریدی در زیرسازه آلومینیومی (مطابق با کاربردهای صنعتی)، با شرط مرزی گیردار به صورت کامل ثابت شده است و تحریک سازه توسط لرزانده

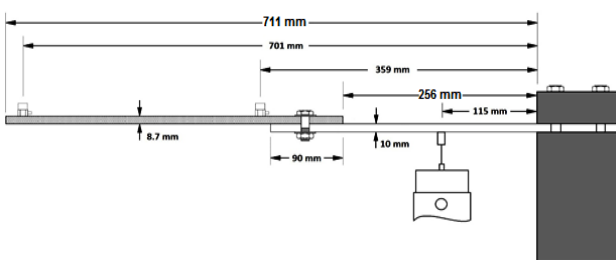


Fig. 3 Schematic of test setup

شکل 3 شماتیکی از شرایط تست

<sup>1</sup> Hardening-Damping Phenomena  
<sup>2</sup> Shaker

نیاز به بالا بودن نیروی تحریک به مقدار کافی یا شل بودن پیش بار پیچ دارد [12,11]. آنالیزهای انجام شده بر روی سطح تماس در دو بخش حوزه زمان و حوزه فرکانس می‌باشد؛ زمانی که آنالیزها در حوزه زمان باشد، استفاده از رابطه‌ی تنش کرنش مفید می‌باشد [15] اما زمانی که آنالیز در حوزه فرکانس باشد روش متفاوتی برای حل مورد نیاز می‌باشد. رابطه‌ی میان تنش-کرنش به صورت رابطه‌ی (3) است، که در حالت غیر خطی این رابطه به صورت رابطه‌ی (4) تغییر می‌نماید.

$$\sigma(t) = f\{\varepsilon(t), \dot{\varepsilon}(t)\} \quad (4)$$

با توجه به اینکه تحریک به صورت مونو-هارمونیک می‌باشد که در بخش 3 شرایط تست توضیح داده خواهد شد، لذا پاسخ نیز مونو-هارمونیک و در نتیجه کرنش به صورت رابطه‌ی (5) فرض شده است. رابطه‌ی خطی شده تنش-کرنش را بر اساس توصیف مفهوم تابع<sup>1</sup> [16] به صورت زیر به دست آورده شده است.

$$\varepsilon(t) = X_\varepsilon \sin(\omega t + \theta) \quad (5)$$

$$\sigma(t) \cong (E_r(X_\varepsilon, \omega) + j E_j(X_\varepsilon, \omega)) \varepsilon(t) = E_{eq}(X_\varepsilon, \omega) \varepsilon(t) \quad (6)$$

$$E_{eq}(X_\varepsilon, \omega) = \frac{1}{X_\varepsilon \pi} \int_0^{2\pi} \{f(X_\varepsilon \sin(\beta), \omega X_\varepsilon \cos(\beta)) \times \{(\sin(\beta) + j \cos(\beta))\} d\beta \quad (7)$$

همان‌طور که در روابط (5-7) مشخص است رابطه‌ی میان تنش-کرنش تابعی از جابجایی سازه و فرکانس تحریک می‌باشد. در این تحقیق فرض بر آن است که به علت اینکه رفتار غیر خطی حول فرکانس اول و در بازه تغییرات کوچکی از فرکانس اول می‌باشد لذا رفتار غیر خطی تنها تابعی از چند جمله‌ای دامنه پاسخ می‌باشد.

در حالت کلی در صورتی که  $K'$  پارامتر غیر خطی اتصال باشد، آنرا می‌توان به صورت زیر فرض کرد:

$$K' = K'_0 + g(X) \quad (8)$$

که در آن  $K'_0$  پارامتر خطی سطح تماس و  $X$  دامنه پاسخ سازه به وسیله نیروی تحریک هارمونیک می‌باشد.  $X$  یک مقدار قابل اندازه گیری است و رابطه‌ی مستقیم با دامنه کرنش دینامیکی  $\varepsilon$  در رابطه‌ی (5) دارد. در ادامه از آنجایی که فرکانس تحریک  $\omega$  در بازه کوچکی حدود 3 هرتز حول فرکانس اول تغییر می‌کند، می‌توان تأثیرات آن روی سطح تماس را نادیده گرفت از این رو در رابطه‌ی (8) نادیده گرفته شده است.  $(X)g$  تابع مختلط غیرخطی که شامل بخش حقیقی و موهومی است که به ترتیب برای توصیف سفتی و میرایی غیرخطی سطح تماس می‌باشد. برای مدل کردن سفتی،  $(X)g$  یک تابع با مقادیر منفی می‌باشد برای اطمینان از اینکه مشخصه‌های سفتی در ناحیه اتصال با افزایش دامنه‌ی پاسخ، کاهش می‌یابند که این پدیده به اثر نرم شوندگی<sup>2</sup> معروف است. در حالی که برای مدل کردن مشخصه‌های میرایی اتصال،  $(X)g$  مقادیری مثبت دارد یعنی با افزایش دامنه پاسخ، میرایی افزایش می‌باشد. برای مدل‌سازی سفتی و میرایی اتصال در حالت غیرخطی از روابط (10,9) استفاده شده است.

$$E_c(X) = E_{c0} - F_1(X) \quad (9)$$

$$G_c(X) = G_{c0} + j \times F_2(X) \quad (10)$$

که در آن  $E_{c0}$  و  $G_{c0}$  مقدار بدست آمده از حل خطی اولیه می‌باشند و  $X$  اندازه دامنه‌ی پاسخ سازه، نسبت به نیروی سینوسی با فرکانس تحریک  $\omega$  می‌باشد. در حالت مدل‌سازی سفتی مقدار تابع  $F_1$  از حل خطی کم می‌شود که علت آن پدیده نرم شوندگی می‌باشد و برای مدل‌سازی میرایی از سفتی

<sup>1</sup> Describing Function Concept

<sup>2</sup> Softening-Effect Phenomena

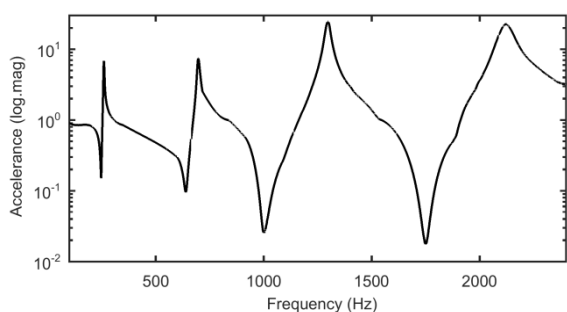


Fig. 5 Frequency response function of free-free composite beam

شکل 5 نمودار تابع پاسخ فرکانسی تیر کامپوزیتی دو سر آزاد

رزونانس و کاهش دامنه با افزایش نیروی تحریک به علت ایجاد پدیده غیرخطی مشاهده شده است.

##### 5- شناسایی پارامترهای خطی لایه میانی

یکی از روش‌های پر استفاده شناسایی پارامترها و کاهش خطای در مدل‌های اجزاء محدود در حالت خطی استفاده از روش حساسیت مقادیر ویژه است. ماتریس [S] ماتریس حساسیت مقادیر ویژه نسبت به پارامترهای به روزرسانی و {E} بردار باقیمانده از تفاضل بین مقادیر ویژه تجربی و پیش‌بینی شده می‌باشد. برای محاسبه‌ی  $\{\Delta P\}$  کافیست معکوس ماتریس حساسیت [S] را محاسبه نموده و در بردار  $\{E\}$  ضرب شود. بنابراین رابطه‌ی (11) فقط با قرار گرفتن در یک سیکل تکراری قابل حل خواهد بود. هدف در هر مرحله از فرایند به روزرسانی کمینه کردن تابع هدفی که به صورت  $\sum_{i=1}^m ((\omega_i^e)^2 - (\omega_i^a)^2)^2 / ((\omega_i^e)^2)$  است که در آن  $\omega_i^e$  فرکانس‌های تست و  $\omega_i^a$  فرکانس‌های تحلیلی می‌باشد.

$$\{\Delta P\} = [S]^{+} \{\varepsilon\} \quad (11)$$

$$\{P\}_{\text{new}} = \{P\}_{\text{old}} + \{\Delta P\} \quad (12)$$

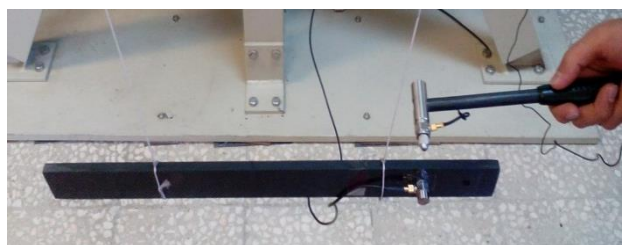


Fig. 4 Free-Free composite beam test setup

شکل 4 شرایط تست تیر کامپوزیتی دو سر آزاد

که در فاصله  $x = 115$  mm از لبه گیردار به آن متصل شده است انجام می‌شود.

برای بدست آوردن پاسخ خطی سازه تحریک با سیگنال تصادفی و با نیروی N 4 انجام شده است. نیروی اعمالی به سازه توسط یک حسگر نیرو و پاسخ آن به وسیله دو عدد شتاب سنج نصب شده در موقعیت‌های  $x = 359$  mm و  $x = 701$  mm در حالت گیری شده است. پیش بار پیچ در نمودار پاسخ فرکانسی را برای پیش بار 8 Nm و نتایج فرکانس‌های حاصل در جدول 2 نشان داده شده است.

در ادامه برای بدست آوردن پاسخ غیر خطی به کمک لرزانده در دو دامنه N 4 و N 10 در حول فرکانس اول، پاسخ فرکانسی غیرخطی استخراج شده است. به این صورت که ابتدا نیروی تحریک و فرکانس تحریک را مشخص کرده و توسط لرزانده سازه با این نیروی هارمونیک تحریک می‌شود. اندکی به سیستم اجازه داده می‌شود تا پاسخ به حالت پایدار برسد، سپس به وسیله سنسورها و نیروسنجه سر لرزانده سیگنال جابجایی و نیروی اعمالی تحریک می‌شود. در یک فرکانس مشخص با بدست آوردن دامنه پاسخ و دامنه تعیین نمود و در انتهای با وصل این نقاط، نمودار پاسخ فرکانسی غیر خطی بدست می‌آید. همان‌طور که در شکل 8 مشخص است جابجایی نقطه

جدول 1 نتایج حاصل از به روزرسانی تیر کامپوزیتی

Table 1 The results of the updating composite beam

	بعد از به روزرسانی			قبل از به روزرسانی			فرکانس‌های حاصل از آزمون			شماره فرکانس
	$E_{\text{initial}}$	درصد خطا (%)	فرکانس (Hz)	$E_{\text{initial}}$	درصد خطا (%)	فرکانس (Hz)	(Hz)			
38.46 (GPa)	3.76	245.4		30 (GPa)	14.98	216.8	255	1		
1.18	679.3			13.35	595.6	687.4	687.4	2		
0.28	1294.3			11.94	1143	1298	1298	3		
-0.07	2123.1			11.62	1875	2121.5	2121.5	4		

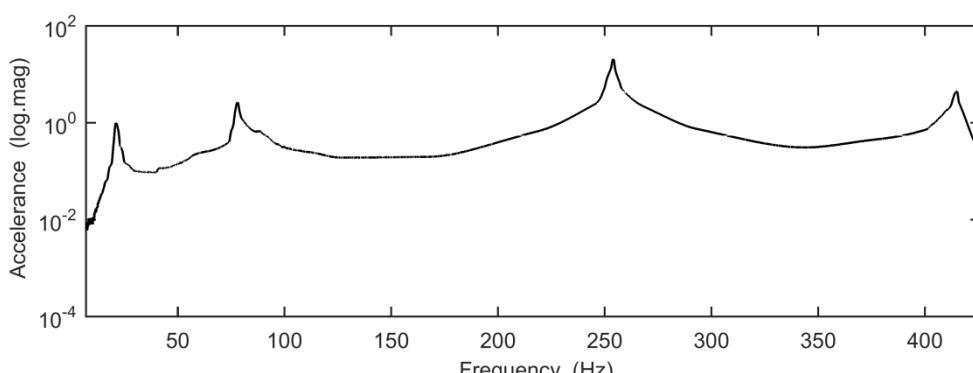


Fig. 6 Frequency response function of Composite-metal single lap bolted joint (8 Nm)

شکل 6 نمودار تابع پاسخ فرکانسی اتصال پیچی تک لبه فلز-کامپوزیت (8 Nm)

غیرخطی ماتریس  $D$  غیرخطی تشکیل شده است و با استفاده از رابطه‌ی (3) حول المان انتگرال گیری شده است. ماتریس سفتی نهایی بدست آمده دارای یک بخش حقیقی و یک بخش موهومی برای توصیف میرایی می‌باشد. استفاده از روش به روزرسانی مدل تحلیلی با استفاده از تابع پاسخ فرکانسی برای به روزرسانی مدل تحلیلی مزایایی دارد اولاً خطای حاصل از استخراج پارامترهای مودال حذف می‌شود ثانیاً داده‌های کافی برای انجام پروسه به روزرسانی در دست خواهد بود.

ماتریس حساسیت پاسخ فرکانسی نسبت به پارامتر به روزرسانی  $P$  برای به روزرسانی مدل تحلیلی با استفاده از توابع پاسخ فرکانسی و به صورت روابط (16-18) محاسبه شده است. که در آن  $[Z]$  ماتریس سفتی دینامیکی سیستم است [17].

$$\frac{\partial[H]}{\partial p} = -[H]^T \frac{\partial[Z]}{\partial p} [H] \quad (16)$$

$$[Z(\omega)] = [-\omega^2[M] + j\omega[C] + [K]] \quad (17)$$

$$[H(\omega)] = [Z(\omega)]^{-1} \quad (18)$$

که در آن  $[M]$ ,  $[C]$  و  $\omega$  به ترتیب ماتریس‌های جرم، میرایی و سفتی و فرکانس می‌باشند. با استفاده از رابطه‌ی (16) رابطه‌ی به روزرسانی نسبت به پارامتر  $P$  در فرکانس  $\omega_k$  با نقاط تحريك و پاسخ به ترتیب  $\zeta$  و  $\omega$  رابطه‌ی (19) قابل محاسبه خواهد بود.

$$H_{ij}^e(\omega_k) - H_{ij}^a(\omega_k) = \left( -\{H_i^a(\omega_k)\}^T \frac{\partial[Z(\omega_k)]}{\partial p} \{H_j^a(\omega_k)\} \right) \Delta p \quad (19)$$

که در آن  $\{H_i^a(\omega_k)\}$  و  $\{H_j^a(\omega_k)\}$  که به ترتیب بردارهای سطر آم و ستون زام ماتریس پاسخ فرکانسی  $[H_{ij}(\omega_k)]$  می‌باشند.  $e$  و  $a$  نشان دهنده‌ی FRF‌های تجربی و تحلیلی می‌باشند. توسط آرودا و دورت [18] و بعدها بالمز [19] تابع هدفی به صورت رابطه‌ی (20) ارائه شده است.

$$J(\{p\}) = \| 20\log_{10}\{|H_{ij}^a(\omega_k, \{p\})\}| - 20\log_{10}\{|H_{ij}^e(\omega_k)\}| \| \quad (20)$$

با مشتق‌گیری از تابع  $|H_{ij}|$  نسبت به  $P$  می‌توان مشتق ماتریس سفتی دینامیکی و ماتریس پاسخ فرکانسی را به دست آورد.

$$\| 20\log_{10}\{|H_{ij}^a(\omega_k, \{p\})\}| - 20\log_{10}\{|H_{ij}^e(\omega_k)\}| \| = 8.6859 \left( \frac{\operatorname{Re}(H_{ij}) \frac{\partial \operatorname{Re}(H_{ij})}{\partial p} + \operatorname{Im}(H_{ij}) \frac{\partial \operatorname{Im}(H_{ij})}{\partial p}}{\operatorname{Re}(H_{ij})^2 + \operatorname{Im}(H_{ij})^2} \right) \quad (21)$$

با استفاده از رابطه‌ی (21) در هر فرکانس تحريك ماتریس حساسیت  $[S_k]$  و بردار باقیمانده  $\{\Delta p\}$  حاصل از تفاضل مقادیر تست و تحلیل، فرایند به روزرسانی غیرخطی اتصال انجام شده است.

گاهی در به روزرسانی مدل اجزاء محدود از روش‌های تنظیم پارامتر برای اصلاح معادلات ماتریسی یک سیستم نامرغوب (تکینه) و تبدیل آن به یک سیستم مرغوب، استفاده می‌شود [21,20]. بنابراین روش شناسایی پارامترهای اتصال غیرخطی با استفاده از تکنیک تنظیم ییخونوف [22] برای نتایج حاصل از به روزرسانی بر اساس روش خطای خروجی ارائه و در مسیر انجام به روزرسانی برای مدل سازی سازه تحت آزمون از آن استفاده شده است. از آنجا که استفاده از روش‌های به روزرسانی بر اساس خطای خروجی، منجر به یک مسئله حداقل مربعات می‌گردد که نیازمند استفاده از سیکل‌های تکراری است، یک استراتژی که اجازه تغییر مقدار پارامترها در هر سیکل تکرار به روزرسانی را بددهد، اتخاذ شده است و پارامتر بهینه در هر سیکل تکرار با

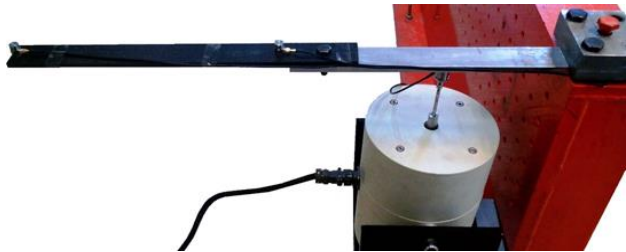


Fig. 7 Composite-metal single lap bolted joint modal test setup

شکل 7 تست مودال اتصال پیچی تک لبه فلز-کامپوزیت

جدول 2 فرکانس‌های طبیعی سازه آلومینیوم-کامپوزیت

Table 2 Natural frequency of aluminum-composite

فرکانس طبیعی (Hz)	پیش بار	پیچ
416	253.4	8 Nm
421	255.4	16 Nm

با توجه به نمودار پاسخ فرکانسی اتصال فلز-کامپوزیت در شکل 7 و مقادیر فرکانس‌های بدست آمده از تست در دو پیش بار 8 Nm و 16 Nm پارامترهای لایه میانی  $E_c$  و  $G_c$  شناسایی شده است. همان‌طور که در جدول 3 مشاهده می‌شود مقادیر اولیه و نهایی پارامترهای شناسایی شده و در صد خطاهای فرکانس‌های به روزرسانی بدست آورده شده است.

#### 6- شناسایی پارامترهای غیرخطی لایه میانی

در این بخش ابتدا مدل سازی غیرخطی اتصال در مورد اول آن بررسی شده است، سپس به روزرسانی به وسیله نمودار پاسخ فرکانسی و روش تنظیم<sup>1</sup> پارامترها در طول فرایند همگرایی طرح شده و در انتها نتایج شناسایی پارامترهای غیرخطی اتصال ارائه شده است.

#### 6-1- مدل سازی غیرخطی مرتبه بالا بر حسب دامنه پاسخ

با توجه به این که رفتار غیرخطی اتصال در مود اول آن بررسی شده است، لذا سفتی اتصال در راستایی سفتی نرمال لایه میانی و رفتار میرایی آن در راستایی سفتی برشی رخ می‌دهد. همان‌طور که در بخش 2-2 توضیح داده شد برای مدل سازی سفتی و میرایی اتصال از روابط (14,13) استفاده شده است.

$$E_c(X) = E_{c0} - F_1(X) \quad (13)$$

$$G_c(X) = G_{c0} + j \times F_2(X) \quad (14)$$

که در آن  $F_i(X)$  توابعی برای توصیف سفتی و میرایی غیرخطی اتصال می‌باشند. در صورتی که تابع  $i$  وابسته به دامنه پاسخ در نظر گرفته شود، می‌توان فرض کرد که از یک چند جمله‌ی مرتبه 4 بر حسب  $X$  به صورت (15) تشكیل شده است. علت استفاده از مرتبه 4 این است که به روزرسانی دقیق‌تری برای میرایی و سفتی اتصال هیبریدی نسبت به پژوهش‌های قبل ارائه شده است [13].

$$F_i(X) = \delta_{i1}X^4 + \delta_{i2}X^3 + \delta_{i3}X^2 + \delta_{i4}X + \delta_{i5} \quad (15)$$

$i = 1,2$   
بنابراین ضرایب  $\delta_{i1}, \delta_{i2}, \dots, \delta_{i5}$  را با استفاده از روش به روزرسانی و به وسیله نمودارهای پاسخ فرکانسی غیرخطی بدست آمده از تست شکل 8 شناسایی شده است.

#### 6-2- به روزرسانی تابع پاسخ فرکانسی و روش تنظیم پارامتر

با قرار دادن توابع  $F_i(X)$  در روابط (14,13) و بدست آوردن  $E_c$  و  $G_c$

<sup>1</sup> Regularization

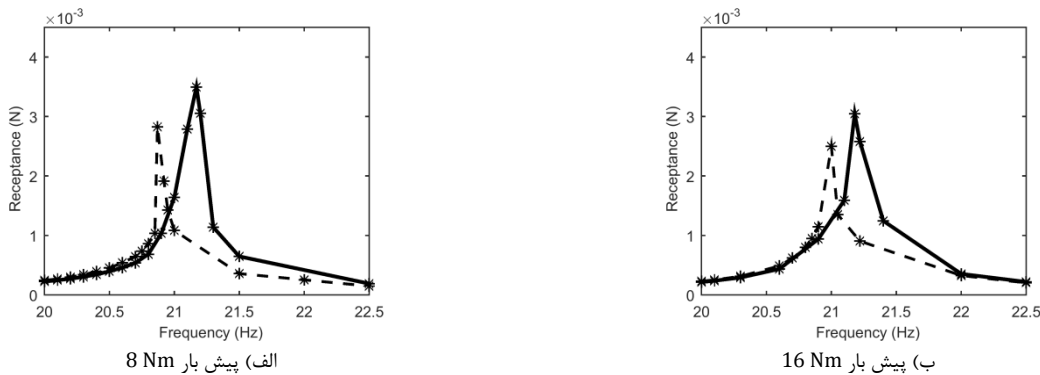


Fig. 8 Nonlinear frequency response function of joint with two different preload

— \* — 8 Nm پیش بار      — \* — 16 Nm پیش بار      — \* — 4 N تحريك

جدول 3 نتایج حاصل از به روزرسانی خطی اتصال آلومینیوم-کامپوزیت

Table 3 The results of the linear updating Aluminum-composite				
$E_{c0} = 4.9 \times 10^6 \text{ Nm}^{-2}, G_{c0} = 4.18 \times 10^6 \text{ Nm}^{-2}$				
$\omega_4$ (Hz)	$\omega_3$ (Hz)	$\omega_2$ (Hz)	$\omega_1$ (Hz)	فرکانس‌ها
416	253.40	80.30	21.10	فرکانس‌های حاصل از آزمون
416	253.38	80.68	21.14	فرکانس‌های به روزرسانی شده
0	0.007	-0.470	-0.220	درصد خطای به روزرسانی (%)
$E_{c0} = 5.52 \times 10^6 \text{ Nm}^{-2}, G_{c0} = 4.30 \times 10^6 \text{ Nm}^{-2}$				
$\omega_3$ (Hz)	$\omega_3$ (Hz)	$\omega_2$ (Hz)	$\omega_1$ (Hz)	فرکانس‌ها
421	255.40	81.30	21.20	فرکانس‌های حاصل از آزمون
421	255.38	81.59	21.31	فرکانس‌های به روزرسانی شده
0	0.005	-0.360	-0.560	درصد خطای به روزرسانی (%)

روشی که در این تحقیق به کار گرفته شده است نیازمند محاسبه پارامتر تنظیم بهینه در هر سیکل تکرار برای به روزرسانی غیرخطی می‌باشد. متأسفانه هر دو روش LCM و GCV در انجام محاسبات خسته کننده می‌باشند. بنابراین از یک روش محاسباتی کارآمد بر پایه<sup>4</sup> MPC استفاده می‌شود که در آن پارامتر  $\lambda$  بهینه در هر سیکل با استفاده از رابطه (25) بدست آورده شده است [26].

$$\lambda^2 \sum_{i=1}^m \left( \frac{\sigma_i^2 - \lambda^2}{(\sigma_i^2 + \lambda^2)^2} \right) (u_i^T e)^2 - \|(\mathbf{I} - \mathbf{U}\mathbf{U}^T)e\|_2^2 = 0 \quad (25)$$

**3- نتایج شناسایی پارامترهای غیرخطی اتصال**  
نمودارهای پاسخ فرکانسی به روزرسانی شده غیرخطی با استفاده از تقریب مرتبه 4 بر حسب دامنه پاسخ مطابق شکل‌های 9 و 10 نشان داده شده است. همان‌طور که از شکل پیداست نمودارهای پاسخ فرکانسی برای هر دو پیش بار و نیروی تحريكی با دقت بالایی به روزرسانی شده است. نمودارهای 9 و 10 به این صورت بدست آمده است که از رابطه (18) ضرایب  $i_3, i_4$  برای هر یک از فرکانس‌های  $\omega_k$  با استفاده از روش به روزرسانی نمودار پاسخ فرکانسی بدست آمده است و در نهایت از روابط (14,13) ماتریس سفتی و میرایی و نمودار پاسخ فرکانسی پیش بینی شده از حل بدست می‌آید. با استفاده از روش تنظیم پارامترها و با کمک تعیین پارامتر  $\lambda$  با استفاده از رابطه (20) در حل از واگرایی جواب جلوگیری کرده و پروسه حل در مدت بسیار زمان کمتری به پایان خواهد رسید.

استفاده از معیار محاسباتی کارآمدی به نام معیار حاصل ضرب کمینه به دست آورده شده است.

پر استفاده‌ترین روش معمول تنظیم، روش تیغونوف است. در این روش، تابع هدف در سیکل تکرار  $K$  مسئله کمترین مربعات به صورت رابطه (22) تعریف می‌شود.

$$J_{\Delta p_\lambda} = \|\Delta p_\lambda - e\|_2^2 + \lambda^2 \|\Delta p_\lambda\|_2^2 \quad (22)$$

که در رابطه (22)،  $\lambda$  پارامتر تنظیم بوده و وزن داده شده به نرم حل مسئله  $\|\Delta p_\lambda\|_2^2$  نسبت به نرم باقیمانده مسئله  $\|\Delta p_\lambda - e\|_2^2$  را کنترل می‌کند تا نتایج نهایی از پارامترهای اولیه انتخاب شده برای پروسه به روزرسانی خیلی دور نباشند.

در ادامه با استفاده از تجزیه مقدارهای منفرد<sup>1</sup> برای ماتریس حساسیت می‌توان آن را به صورت  $S = U\Sigma V^T$  تجزیه کرد. با استفاده از روابط (24,23)، حل رابطه (21) به صورت تابعی از  $\lambda$  (پارامتر تنظیم)، بیان شده است.

$$\|\Delta p_\lambda\|_2^2 = \sum_{i=1}^m \left( \frac{\sigma_i^2 u_i^T e}{\sigma_i^2 + \lambda^2 \sigma_i} \right)^2 \quad (23)$$

$$\|\Delta p_\lambda - e\|_2^2 = \sum_{i=1}^m \left( \frac{\lambda^2 u_i^T e}{\sigma_i^2 + \lambda^2 \sigma_i} \right)^2 + \|(\mathbf{I} - \mathbf{U}\mathbf{U}^T)e\|_2^2 \quad (24)$$

نکته اساسی در روش تنظیم تیغونوف انتخاب پارامتر آن است. روش LCM<sup>2</sup> و روش GCV<sup>3</sup> دو روش رایج برای تعیین این پارامتر در پروسه به روزرسانی مدل می‌باشند [25-23].

<sup>3</sup> Generalized Cross Validation (GCV)

<sup>4</sup> Minimum Product Criterion

<sup>1</sup> Singular Value Decomposition(SVD)

<sup>2</sup> L-Curve Method (LCM)

جدول 4 با استفاده از رابطه (20) درصد معیار باقی مانده برای هر یک از نمودارها محاسبه شده است که نشان از دقت بالای فرایند به روزرسانی دارد. نمودارهای رفت و برگشتی تغییر توابع ( $X$ ) بر حسب دامنه نمودار پاسخ فرکانسی مطابق شکل 11 آورده شده است. در ابتدا شناسایی پارامترهای غیرخطی در دامنه  $N$  4 در نظر گرفته می‌شوند. توابع خطی پارامترهای ( $F_2(X)$ ) در هر دو نیروی پیش بار  $16 \text{ Nm}$  رسم شده است. پارامترهای ( $F_1(X)$ ) در  $F_2(X)$  در روند تکراری به روزرسانی شده است تا زمانی که همگرایی حاصل شود.

در حالی که پیش بار پیچ  $16 \text{ Nm}$  است ( $F_1(X)$  به صورت خطی و  $F_2(X)$  به صورت چند جمله در طول دامنه پاسخ افزایش و کاهش یافته است اما در  $8 \text{ Nm}$  که پیچ شل تر می‌باشد هر دوتابع ( $F_1(X)$ ,  $F_2(X)$ ) به صورت چند جمله می‌باشد و نیز مقدار بیشینه‌ی میرایی و سفتی این توابع نسبت به حالی که پیچ سفت‌تر بسته شده است بیشتر شده است. استفاده از چند جمله ای متربه 4 این امکان را به پارامترهای ( $F_2(X)$ ,  $F_1(X)$ ) می‌دهند که بهترین مسیر برای شناسایی پارامترهای اتصال پیدا کنند.

در نهایت پارامترهای غیر خطی المان لایه میانی برای نیروی تحریک  $10 \text{ N}$  با استفاده از نمودار پاسخ فرکانسی آن شناسایی شده است که هر دوتابع ( $F_2(X)$ ,  $F_1(X)$ ) به صورت چند جمله‌ای می‌باشد. در حالی که نیروی تحریک افزایش یافته است، در پیش بارهای مشابه مقادیر توابع ذکر شده نسبت به حالت قبل افزایش یافته است.

نتایج شکل 11 نشان می‌دهد نمودارهای ( $F_1(X)$ ) با توجه به افزایش دامنه نیروی تحریک یا کاهش پیش بار پیچ درجه چند جمله‌ای که عامل غیرخطی میرایی و سفتی است افزایش می‌یابد.

## 7- نتیجه گیری

در این پژوهش استفاده از مدل لایه میانی نازک برای یک اتصال فلز-کامپوزیت مورد مطالعه قرار گرفته شده است. این مدل سازی در دو حالت خطی و غیر خطی به وسیله کدنویسی توسط نرم افزار متلب مورد ارزیابی قرار گرفته شده است. ابتدا تیر کامپوزیتی با توجه به اینکه از خود رفتار شبه

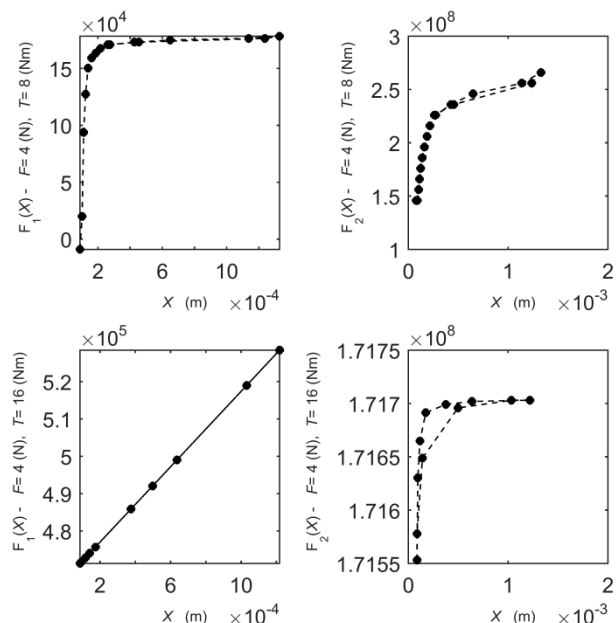
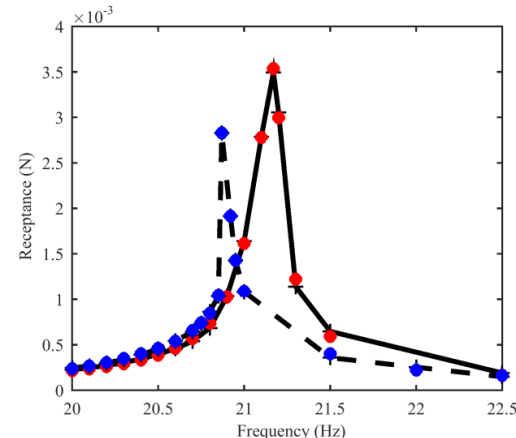
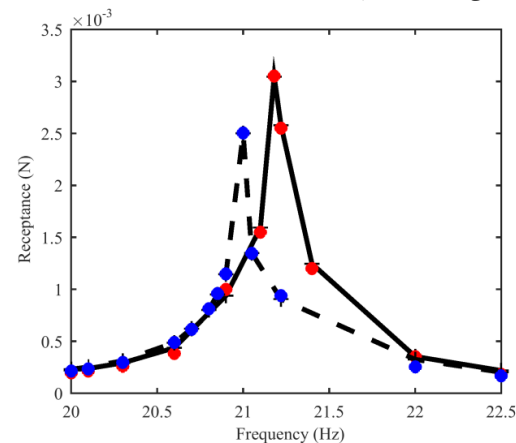


Fig. 11 Updated function  $F_1(X)$ ,  $F_2(X)$  at preloads  $8 \text{ Nm}$ ,  $16 \text{ Nm}$  and excitation force  $4 \text{ N}$ ,  $10 \text{ N}$

شکل 11 توابع به روزرسانی شده ( $F_2(X)$ ,  $F_1(X)$ ) در پیش بار  $16 \text{ Nm}$  و نیروی تحریک  $10 \text{ N}$ ,  $4 \text{ N}$

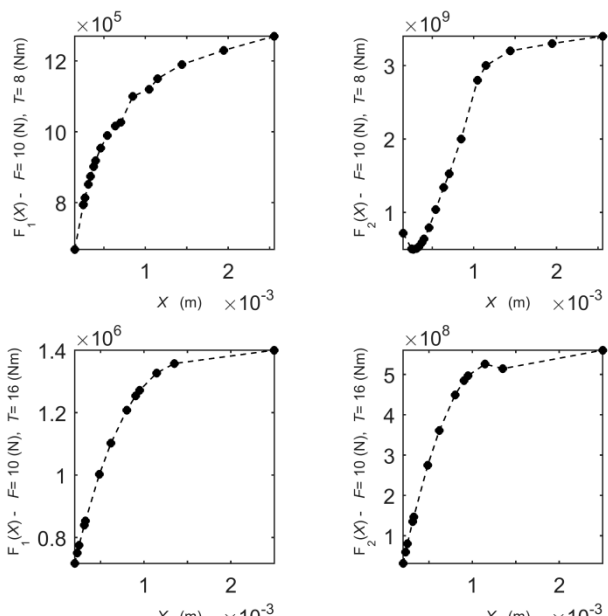


شکل 9 نمودار تابع پاسخ فرکانسی پیش بار  $8 \text{ Nm}$ ، نمودارهای تست (خطوط) و نتایج پیش بینی شده (نقاط توپر)



شکل 10 نمودار تابع پاسخ فرکانسی پیش بار  $16 \text{ Nm}$ ، نمودارهای تست (خطوط) و نتایج پیش بینی شده (نقاط توپر)

شکل 10 نمودار تابع پاسخ فرکانسی پیش بار  $16 \text{ Nm}$ ، نمودارهای تست (خطوط) و نتایج پیش بینی شده (نقاط توپر)



- Mechanics*, Vol. 72, No. 5, pp. 752-760, 2005.
- [7] S. Shokrollahi, H. Ahmadian, F. Adel, A new approach for finite element model updating of bolted joints and comparison with interface layer method, *Modares Mechanical Engineering*, Vol. 16, No. 3, pp. 42-35, 2017. (in Persian)
- [8] G. Beer, An isoparametric joint interface element for finite element analysis, *Numerical Methods in Engineering*, Vol. 21, No. 4, pp. 585-600, 1985.
- [9] C. S. Desai, M. M. Zaman, J. G. Lightner, H. J. Siriwardane, Thin-layer elements for interfaces and joints, *Numerical and Analytical Methods in Geomechanics*, Vol. 8, No. 1, pp. 19-43, 1984.
- [10] H. Ahmadian, H. Jalali, J. E. Mottershead, M. I. Friswell, Dynamic modelling of spot welds using thin-layer interface theory, *Proceedings of The 10th International Congress on Sound and Vibration*, Stockholm, Sweden, July 7-10, 2003.
- [11] H. Ahmadian, A. Zamani, Identification of nonlinear boundary effects using nonlinear normal, *Mechanical Systems and Signal Processing*, Vol. 23, pp. 2008-2018, 2009.
- [12] C. J. Hartwigsen, Y. Song, D. M. McFarland, L. A. Bergman, A. F. Vakakis, Experimental study of non-linear effects in a typical shear lap joint configuration, *Sound and Vibration*, Vol. 277, No. 1-2, pp. 327-351, 2004.
- [13] H. Jalali, A. H. Hedayati, H. Ahmadian, Modelling mechanical interfaces experiencing micro-slip/slapp, *Inverse Problems in Science and Engineering*, Vol. 19, No. 6, pp. 751-764, 2011.
- [14] S. cen, Z. F. Long Y. Q. Long, *Advanced Finite Element Method in Structural Engineering*, pp. 345-410, Beijing: Springer-Verlag, 2009.
- [15] M. H. Mayer, L. Gaul, Segment-to-segment contact elements for modeling joint interfaces infinite element analysis, *Mechanical Systems and Signal Processing*, Vol. 21, pp. 724-734, 2007.
- [16] A. Gelb, W. E. Vander Velde, *Multiple input Describing Functions and Nonlinear System Design*, pp. 145-209, New York: McGraw-Hill, 1968.
- [17] M. I. Friswell, J. E. Mottershead, *Finite Element Model Updating in Structural Dynamics*, pp. 438-473, Dordrecht: Springer, 1995.
- [18] J. R. F. Duarte, M. A. V. Arruda, Parameter estimation and model updating of rotor-bearing systems by the direct curve fit of frequency response functions, *Proceedings of The 3rd International Conference on Rotordynamics*, Lyon, France, 1990.
- [19] E. Balmes, A finite element updating procedure using frequency response functions. applications to the MIT/SERC interferometer testbed, *Proceedings of The 11th International Modal Analysis Conference*, San Diego, USA, 1993.
- [20] H. G. Natke, *On regularization method within system identification*, M. Tanaka, H. D. Bui (Eds.), *Inverse Problems in Engineering Mechanics International Union of Theoretical and Applied Mechanics*, Berlin: Springer, 1993.
- [21] A. N. Tikhonov, *Numerical Methods for the Solution of Ill-posed Problems*, pp. 7-63, Boston: Kluwer Academic Publishers, 1995.
- [22] V. Y. Arsenin A. N. Tikhonov, *Solutions of Ill-posed Problems*, pp. 266-267, New York: John Wiley, 1977.
- [23] M. I. Friswell, J. E. Mottershead, H. Ahmadian, Finite element model updating using experimental data: Parameterization and regularization, *Mathematical Physical and Engineering Science*, Vol. 1778, No. 359, pp. 169-186, 2001.
- [24] H. Ahmadian, J. E. Mottershead, M. I. Friswell, Regularization methods for finite element model updating, *Mechanical Systems and Signal Processing*, Vol. 1, No. 12, pp. 47-64, 1998.
- [25] S. Ziaei-Rad, M. Imregun, On the use of regularization techniques for finite element model updating, *Inverse Problem in Engineering*, Vol. 5, No. 7, pp. 471-503, 1999.
- [26] X. G. Hua, Y. Q. Ni, J. M. Ko, Adaptive regularization parameter optimization in output-error-based finite element model updating, *Mechanical Systems and Signal Processing*, Vol. 23, No. 3, pp. 563-579, 2009.

جدول 4 درصد خطای بروزرسانی غیر خطی برای 4 حالت مختلف

Table 4 Nonlinear error of updates to 4 different states

نیروی تحریک	پیش بار پیچ	معیار باقی مانده (درصد خطای)
4 N	8 Nm	1.96
10 N	8 Nm	0.31
4 N	16 Nm	0.57
10 N	16 Nm	1.04

شبهایزوتropیک دارد مدول خمشی آن شناسایی شده است. سپس با کمک نتایج تست خطی به شناسایی پارامترهای اتصال، سفتی نرمال و برشی به کمک آنالیز حساسیت فرکانسی پرداخته شده است. نتایج این شناسایی حاکی از آن است که سفتی‌های اتصال از مرتبه  $10^3$  نسبت به سفتی‌های تیرهای کناری کاهش یافته است. در ادامه به کمک ارائه مدل اجزاء محدودی از مرتبه چهار نسبت به دامنه پاسخ، توصیف رفتار غیر خطی اتصال بررسی شده است. تست مودال غیرخطی اتصال انجام شده و با کمک آنالیز حساسیت پاسخ فرکانسی و استفاده از تنظیم پارامتر برای کاهش زمان حل و همگرایی بهتر به شناسایی خواص غیرخطی اتصال پرداخته شد. از آنجا که قطعات کامپوزیتی میرایی بالای داشته و دارای محدودیت در اعمال پیش بار پیچ به دلیل آسیب زدن به قطعه است، لذا راه گزینی از عدم انجام تحلیل غیرخطی نمی‌باشد. مدل مرتبه بالای ارائه شده در این مقاله از دقت بالا و کارایی کافی برای استفاده از آن در تحلیل‌های مشابه را دارا می‌باشد. همچنین با توجه به اینکه نتایج بدست آمده نیز درستی تحلیل را با توجه به مشاهدات قبلی به درستی ارضا نموده است و پارامترهای سفتی و میرایی اتصال به صورت چندجمله‌ای می‌باشد و با دقیقی بالا شناسایی شده است.

## 8- مراجع

- [1] F. Gant, P. Rouch, F. Louf, L. Champaney, Definition and updating of simplified models of joint stiffness, *Solids and Structures*, Vol. 48, No. 5, pp. 775-784, 2011.
- [2] H. Jalali, H. Ahmadian, Identification of bolted lap joints parameters in assembled structures, *Mechanical Systems and Signal Processing*, Vol. 21, No. 2, pp. 1041-1050, 2007.
- [3] J. E. Mottershead, M. I. Friswell, G. H. T. Ng, J. A. Brandon, Geometric parameters for finite element model updating of joints and constraints, *Mechanical Systems and Signal Processing*, Vol. 10, No. 2, pp. 171-182, 1996.
- [4] H. Jalali H. Ahmadian, Generic element formulation for modelling bolted lap joints, *Mechanical Systems and Signal Processing*, Vol. 21, No. 5, pp. 2318-2334, 2007.
- [5] H. Ahmadian, J. E. Mottershead, S. James, M. I. Friswell, C. A. Reece, Modeling and updating of large surface-to-surface joints in the AWE-MACE structure, *Mechanical Systems and Signal Processing*, Vol. 20, No. 4, pp. 868-880, 2006.
- [6] D. J. Segalman, A four-parameter Iwan model for lap-type joints, *Applied*